

## II-110 流砂・飛砂量則の統一の試み

京都大学防災研究所 正会員 土屋義人  
正会員 河田恵昭

1. 緒言 掃流形式で輸送される砂粒の saltation 機構に関する著者らのこれまでの考察から、流砂では砂粒の運動が定常跳躍として近似できるのに對し、飛砂では継続跳躍における第1回目の跳躍から定常跳躍に至るまでの各跳躍との平均飛距離などが大きく相違するため、前者のような平均的な取り扱いが困難であることがわかつてきた。本研究は、変分原理を用ひて、saltation層内の運動砂粒と静止砂粒との衝突における saltation としての砂粒の運動の配分則を考察し、前報で誘導した平衡状態の流砂および飛砂量式を統一的に表示しようとしたものである。

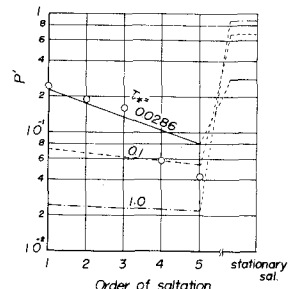
2. 砂粒の運動の配分則 いま、流体のエネルギーを  $E_0$ 、砂粒の運動エネルギーを  $E_s$ 、および流体と床面との境界面における損失エネルギーを  $E_L$  とすれば、流砂を含む定常、等流の二相流に關して次式が成立すると仮定する。 $E_0 = E_s + E_L$  —— (1) 著者らの saltation 機構に関する考察から、 $(3/2)C_D(\bar{U} - U_{0i})\bar{W}_{0i} \gamma_* \ll 1$  は第*i*回目の跳躍の水平方向初速度  $\bar{U}_{0i}$  および飛距離  $\bar{L}_i$  は等比数列として近似的につきのようによく表わされる。

$\bar{U}_{0i} = r^{i-1} \bar{U}_{01}$ ,  $\bar{L}_i = 2(5/8 + 1/2) \bar{U}_{0i}^2 (\tan \beta) \gamma_*$  —— (2) ここに、 $\bar{U} \approx A_r$ ,  $\bar{W}_{0i} = \bar{U}_{0i} \tan \beta$ ,  $\bar{U}_{0i} = U_{0i}/u_*$ ,  $\bar{L}_i = L/d$ ,  $d$ : 粒径,  $u_*$ : 摩擦速度,  $\sigma$  および  $\delta$ : それぞれ砂粒と流体の密度,  $\beta$ : 飛び出し角度,  $\gamma_* = u_*^2 / (5/8 - 1) g d$ ,  $r = e^{[1 + (3/2) C_D A_r^2 (\tan \beta) \gamma_*]}$ ,  $C_D$ : 抗力係数および  $e$ : 砂粒の反発係数である。saltation層内に運動砂粒が  $N$  あるとして、そのうち第*i*回目の跳躍をする砂粒が  $n_i$  あるとすれば、 $E_s$  は(2)式を用ひるとつきのように表わされる。 $E_s = (1/2) m U_{0i}^2 (1 + \tan^2 \beta) \sum_{i=1}^N n_i r^{2(i-1)}$ ,  $N = \sum_{i=1}^{\infty} n_i$  —— (3)

ここに、 $m$ : 砂粒 1 コの質量である。いま、単位時間、単位面積当たり  $N'$  コの砂粒が移動を開始し、継続確率  $P$  で跳躍を繰り返すと考えると、第*i*回目の跳躍で停止する砂粒の数  $n'_i$  は  $n'_i = N' P^{i-1} (1 - P)$  —— (4) となる。(3)および(4)式において、 $n_i/N = n'_i/N'$  と仮定すれば、 $E_s$  は次式で表わされる。 $E_s = (1/2) m U_{01}^2 (1 + \tan^2 \beta) N (1 - P) \{1 - (P r^2)^n\} / (1 - P r^2)$  —— (5)  $E_0$  一定で、砂粒の運動エネルギー  $E_s$  が最大すなわち最大の流砂量を保持する場合に流砂現象が起るゝものとすれば、 $\partial E_s / \partial P = 0$  から近似的に  $P \approx 1 - 1/r^2$  —— (6)

となる。図-1 は飛砂における停止確率  $P$  を計算したものであつて、6 回目以上の跳躍を近似的に定常跳躍とした。図中の点は高速度カメラによる  $d = 0.225$  cm,  $\gamma_* = 0.0286$  の著者らの実験値であり、実線で示した計算結果と傾向がよく一致している。また、 $\gamma_* \gg \gamma_{sc}$  (移動限界) では、saltation 層内の大部分の砂粒は近似的に定常跳躍していることがわかつ、この領域で定常跳躍の力学的な関係が成立すると考えられる。つきに、以上の結果を用ひて、砂粒の平均飛距離は次のようによく表わされる。すなわち、saltation 層には第1回目の跳躍砂粒から無限回の跳躍を継続してなる砂粒が含まれるが、数回の跳躍を繰り返すといふゆる定常跳躍に近づくことから、全運動砂粒が、第1, 2 回目およびそれ以上の継続跳躍を近似的に定常跳躍とする (図-1) 砂粒の停止確率 3/2 の集団に分けられる場合、平均飛距離  $\bar{L}_m$  は次式のようになる。 $\bar{L}_m = 2(5/8 + 1/2) [\bar{U}_{01}^2 \tan \beta + (3/4) A_r^2 [(1+e) - (1-e)\sqrt{1+8/(3(1-e))} C_D A_r^2 \gamma_*]^2 (1-1/r^2)^2] \gamma_*$  —— (7) あるいは、第4回目以上の跳躍を定常跳躍として運動砂粒を 4/3 の集団に分けた場合は、つきのようになら。 $\bar{L}_m = 2(5/8 + 1/2) [\bar{U}_{01}^2 \tan \beta] \{1 + r^2 (1-1/r^2)^2\} + (1/4) A_r^2 [(1+e) - (1-e)\sqrt{1+8/(3(1-e))} C_D A_r^2 \gamma_*]^2 (1-1/r^2)^3] \gamma_*$  —— (8)

3. 流砂・飛砂量則 著者らは前報において、流砂を含む二相流に對し運動量の保存則を適用して、いわゆる plane bed の床面形態を対象とした流砂の基礎式を誘導した。この結果、等流の平衡状態では流砂および飛砂量



式はすべての砂粒が近似的に定常跳躍すると仮定すればつきのように表わされた。  

$$g_* = \bar{G}_0 L_m = \epsilon \tan \beta / (1-\epsilon) \left\{ 1 + (4/2)(s/b) \right\} A_r \left[ (1+\epsilon) - (1-\epsilon) \sqrt{1+8/(3(1-\epsilon))} C_0 A_r^2 \times 2 \epsilon \right] / (2\epsilon - 2\epsilon_c) \quad (9)$$

$$\text{ここで } \bar{G}_0 = G_0 / \sigma u_x, g_* = g_b / u_x d, \lambda = 4H_m / L_m \text{ および } C_0: \text{限界掃流力である。} \text{ いま、砂面に衝突した砂粒によって静止砂粒が砂面上を滑動して、初速度 } U_0 \text{ で surface creep を始めるとすれば、運動方程式はつきのようになる。} (1/2)m U_0^2 = (\pi/6)d^3(\epsilon-g) \mu_f g L_{s.c.} \quad (10)$$

$$\text{ここで } L_{s.c.} = \frac{D}{U_0^2 / (1/\rho - 1)gd} \text{ は surface creep の移動距離, } \mu_f: \text{摩擦係数である。一方、平衡状態では衝突は砂面上で } G_0/m \text{ 回起るが、surface creep は定常跳躍をする砂粒の衝突によって生ずるとすれば、その衝突の回数 } N_s \text{ はつきのようになる。} N_s = G_0 P_s / m \quad (11)$$

$$\text{ここで } P_s \text{ は定常跳躍をする砂粒の確率である, (6) 式から求められる。} (6), (10) \text{ および (11) 式から surface creep による砂粒の移動量 } g_{s.c.*} \text{ はつきのようになります。} g_{s.c.*} = \bar{G}_0 P_s L_{s.c.m} \quad (12)$$

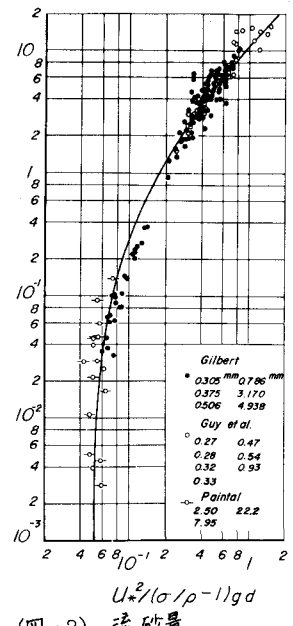
$$g_{s.c.*} = g_{s.c.} / u_x d, L_{s.c.m} = L_{s.c.} / d \text{ である。} (7) \sim (12) \text{ 式によると, 砂粒の輸送量 } g_* \text{ は跳躍による輸送量 } g_{s.s.} \text{ と surface creep による輸送量 } g_{s.c.*} \text{ によつて以下のように表わされる。} (i) \text{ 運動砂粒を第1, 2 および定常跳躍の3つに分けた場合 } g_* = g_{s.s.} + g_{s.c.*} = A_1 [1 + A_2 (1 - 1/r^2)^2] \sqrt{A_3 + A_4 [(1+\epsilon) - (1-\epsilon) \sqrt{1+8/(3(1-\epsilon))} C_0 A_r^2 \epsilon]} / (2\epsilon - 2\epsilon_c) \quad (13)$$

(ii) 第1, 2, 3 および定常跳躍の4つに分けた場合  $g_* = A_1 [1 + A_2 (1 - 1/r^2)^{3/2}] \sqrt{A_3 \{ 1 + r^2 (1 - 1/r^2) \} + A_4 [(1+\epsilon) - (1-\epsilon) \sqrt{1+8/(3(1-\epsilon))} C_0 A_r^2 \epsilon]} / (2\epsilon - 2\epsilon_c) \quad (14)$

ここで  $A_1 = (\tan \beta) (2 + s/b) (em / 1 - em) / \sqrt{\lambda}, A_2 = (1 + \epsilon^2) (s/b - 1) (1 - \epsilon'/\epsilon)^2 / 4 (\tan \beta) \mu_f (1 - s/b) (s/b + 1/2), A_3 = \bar{U}_0^2 \tan \beta, A_4 = 2 A_r^2 / 4, \epsilon: \text{標準偏差, } \epsilon' = \epsilon / \{ 1 + (3/2) C_0 A_r^2 (1 - \epsilon)^2 \tan \beta \}, s: \text{固定床と移動床の反発係数, } C: \text{比例定数および } \bar{U}_0 = (1 - \epsilon'/\epsilon) \bar{U}_0 \text{ である。} \text{ 流砂の場合, 著者らの saltation の実験結果から, } \epsilon \approx \epsilon' \text{ が近似的に成立すると考えられるので, surface creep による砂粒の輸送量はなくなる。}$

**4. 実験結果との比較** 図-2は plane bed 領域の流砂量の実験値を示し、図中の曲線は著者らの saltation の実験結果から  $\epsilon = 0.62, \lambda = 0.4, \tan \beta = 0.57, \epsilon_c = 0.05, s/b = 2.65$  および  $A_r = 8.5$  として (13) 式を計算したものである。(9), (13) および (14) 式によつて与えられる流砂量が反発係数の若干の修正によって、なづれ(図-3)飛砂量も従来の実験結果とよく一致することから、流砂では砂粒の運動を近似的に定常跳躍として取り扱えることがわかる。図-3は最近行なった著者らの飛砂量の実験値との比較であり、図中の曲線は、飛砂の saltation の実験結果から  $\epsilon = 0.91, \lambda = 0.26, \tan \beta = 1.5$  および反発係数の平均値  $em = 0.44$  を用い、 $\epsilon_c = 0.0065$  として (13) 式を計算したものである。また、図-4は surface creep などによる砂粒の輸送量と飛砂量との比を示した。これらの図から、実験値と計算値が掃流力の全範囲にわたってかなりよく一致し、移動限界附近では first saltation などの初期跳躍によって砂粒が輸送され、掃流力が大きくなるにしたがつて、surface creep の形式で飛砂量の約 20% 程度輸送されることがわかる。以上のことから、飛砂においては、流砂の場合のように運動砂粒のすべてを定常跳躍として近似的に取り扱うことができず、上述したような取り扱いが必要であると考えられる。

**5. 結語** 以上、流砂・飛砂量則の統一の一つの試みを示したが、今後さらに流速分布などの考察を加えて、検討していきたいと考えている。(参考文献) 土屋・河田: Saltationに基づく流砂の基礎方程式、土木学会第28回年次学術講演会講演概要集、II-141、昭48。



(図-2) 流砂量

